

[NOWCASTING SOLARE 21 SETTEMBRE 2015](#)

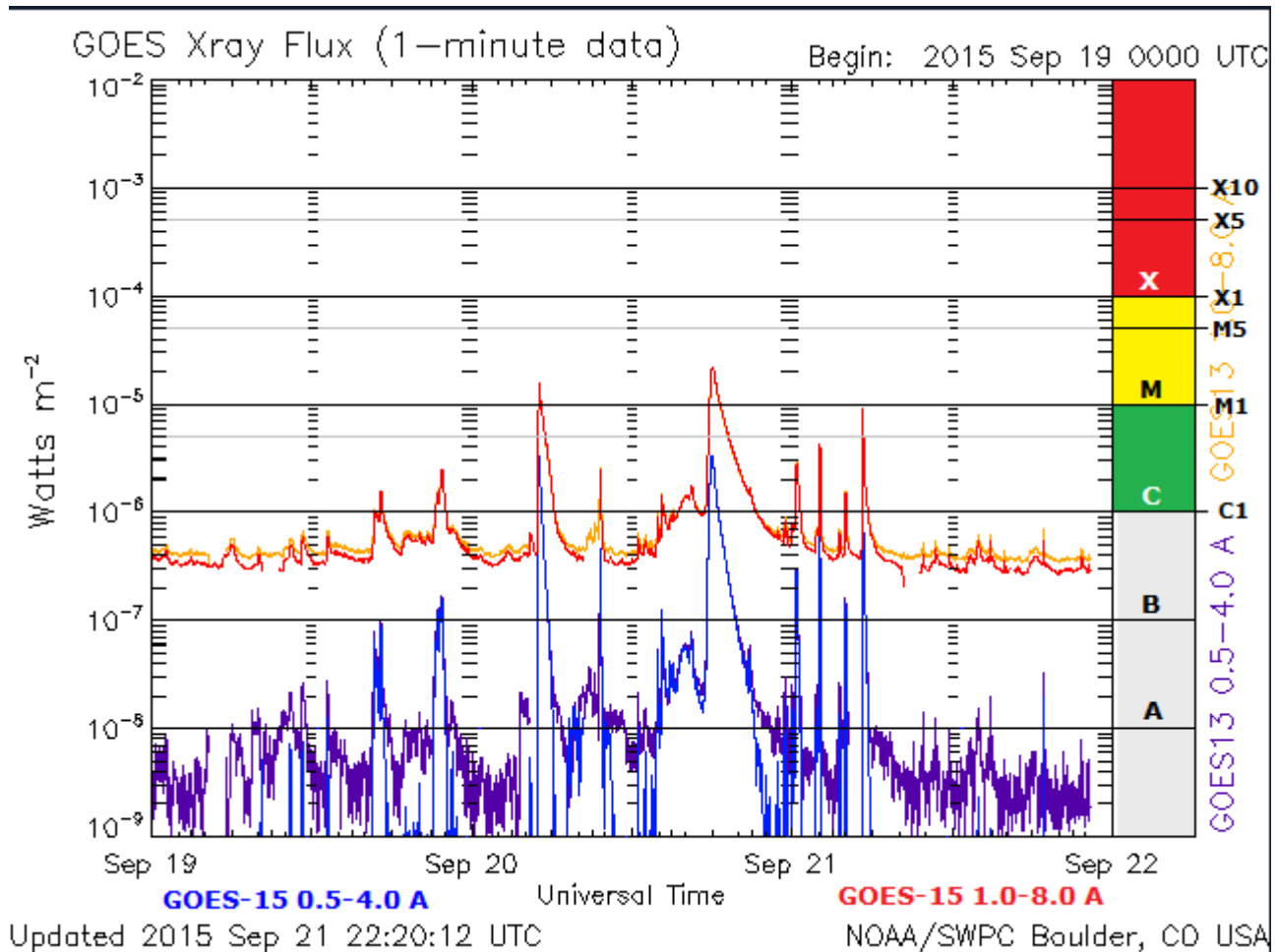
Nowcasting solare, sommario delle ultime 24 ore: Attività solare che nella giornata di oggi 21 Settembre è rimasta a livelli bassi.

La Regione 2415 (S18W62, EA0/beta-gamma) non ha prodotto flare di classe C-M-X nel periodo preso in esame. La Regione 2420 (N10E71, EKC/beta-gamma) ha prodotto quattro flare di classe C 2.8 – 4.2 – 1.5 – 8.8.

Inoltre un leggero decadimento è stata osservato nei punti intermedi e finali più piccoli nella Regione 2415. Al contrario una lieve crescita è stata osservata nel punto ombroso e nelle macchie terminali della Regione 2420.

Nessuna espulsione di massa coronale (**CME**) è stata osservata in direzione della Terra, dalle immagini del **LASCO** coronagraph imagery.

Previsioni prossime 72 ore: L'attività solare dovrebbe restare con bassi livelli, con piccole possibilità di flare di classe M con possibilità di R1-R2 (Minore-Moderato) nei prossimi tre giorni (22-24 settembre). Le regioni con più probabilità di produrre brillamenti di M-class sono le Regioni 2415 e 2420.



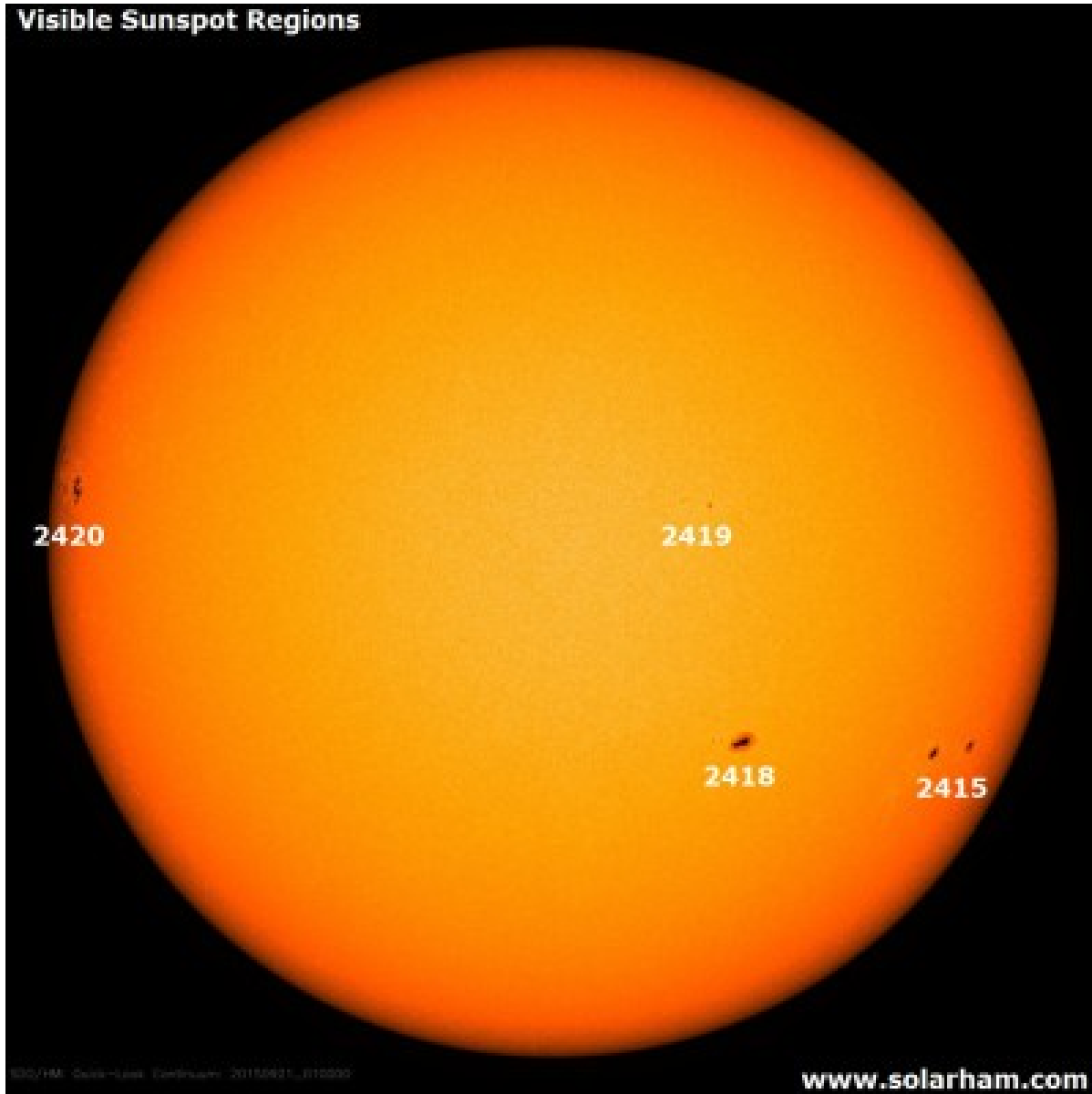
Il grafico dei Raggi X negli ultimi tre giorni

Ne consegue che:

Alle ore 18.00 UTC, il disco solare visibile presentava quattro regioni attive (in risoluzione 2K da immagini SDO/HMI Continuum):

Num count	Lat., class	CMD	Long.	Area	Extent	class
2415	S19W56	235 240	13	EAC	12	BG
2418	S15W21	200 210	6	CA0	5	B
2419	N12W19	198 30	8	CA0	5	B
2420	N09E71	108 270	12	EKC	12	BG

Visible Sunspot Regions



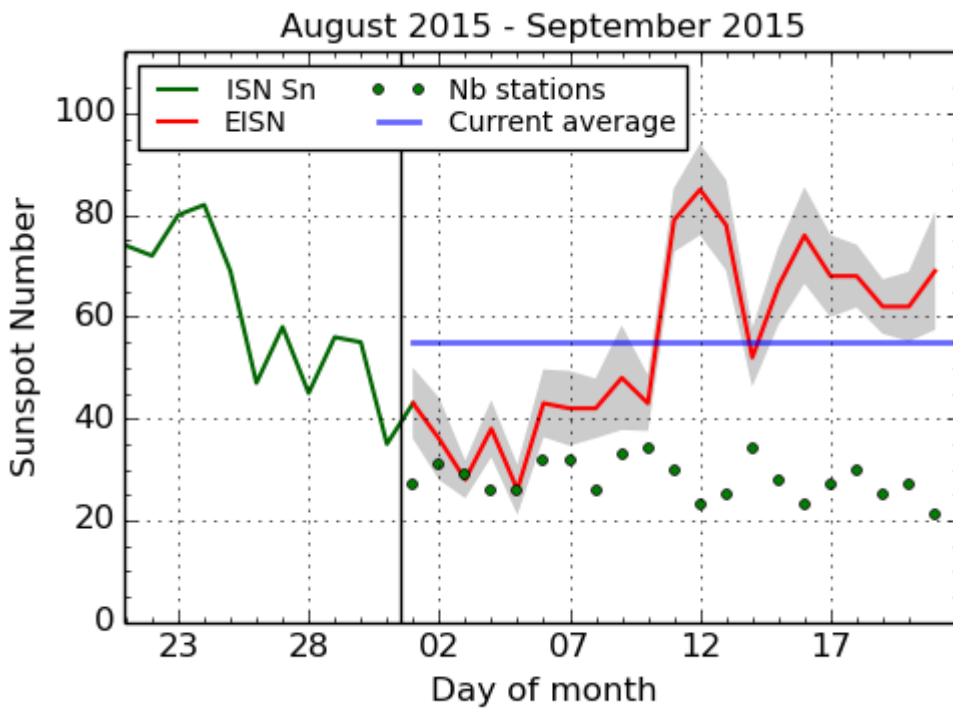
Il campo geomagnetico solare nel corso delle ultime 24 ore è risultato in stato "QUIET" mentre i Raggi X in stato "ACTIVE"

La velocità del flusso solare (2,8 GHz) alle ore 20,00 del 21 Settembre è risultata a 103.4

La media mensile del flusso solare ad oggi risulta di 94.4

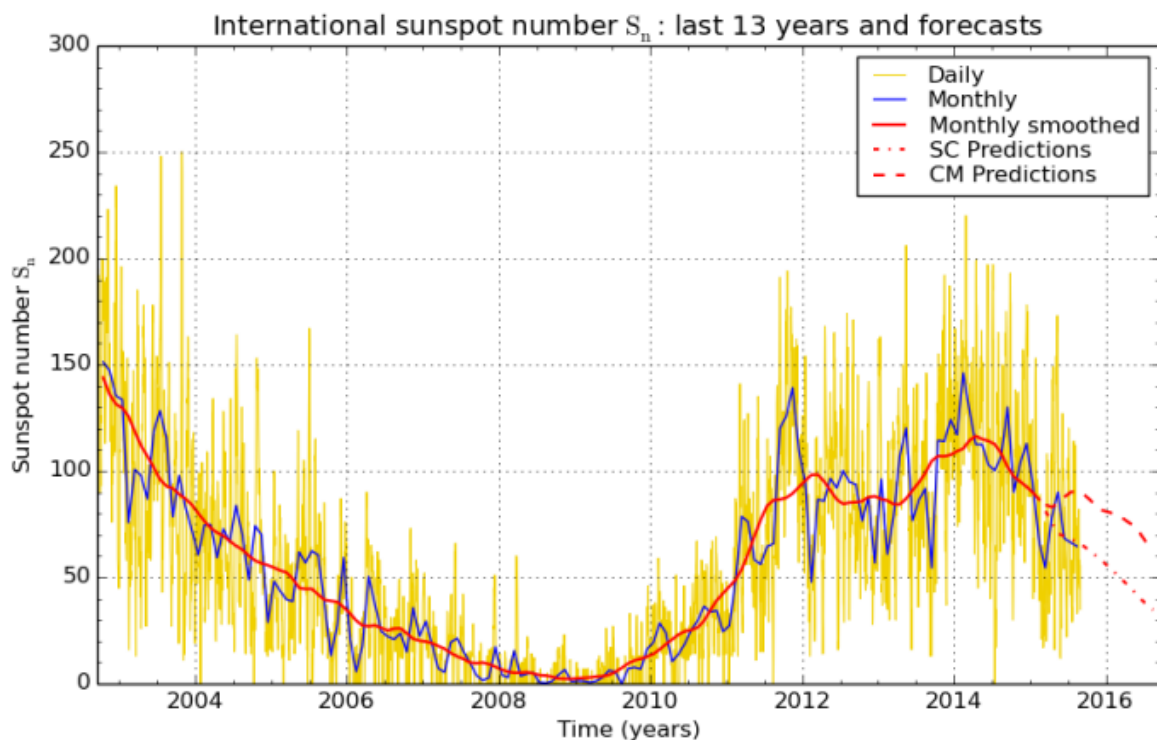
Il conteggio delle macchie solari (conteggio SILSO) del 21 Settembre è risultato di 69 macchie.

La media mensile delle macchie solari ad oggi risulta di 55.0



SILSO graphics (<http://sidc.be/silso>) Royal Observatory of Belgium, 2015 September 21

L'andamento delle macchie solari nell'ultimo mese. Grafico del centro di conteggio SILSO



SILSO graphics (<http://sidc.be/silso>) Royal Observatory of Belgium 2015 September 1

L'andamento dell'attività solare negli ultimi 13 anni e forecast. Grafico del centro di conteggio SILSO

La media mensile dell'indice Ap è risultata nella giornata di ieri di 18.8

La velocità del vento solare attuale è di 430.3 km/s

La densità del vento solare attuale è di 4.0 protons/cm³

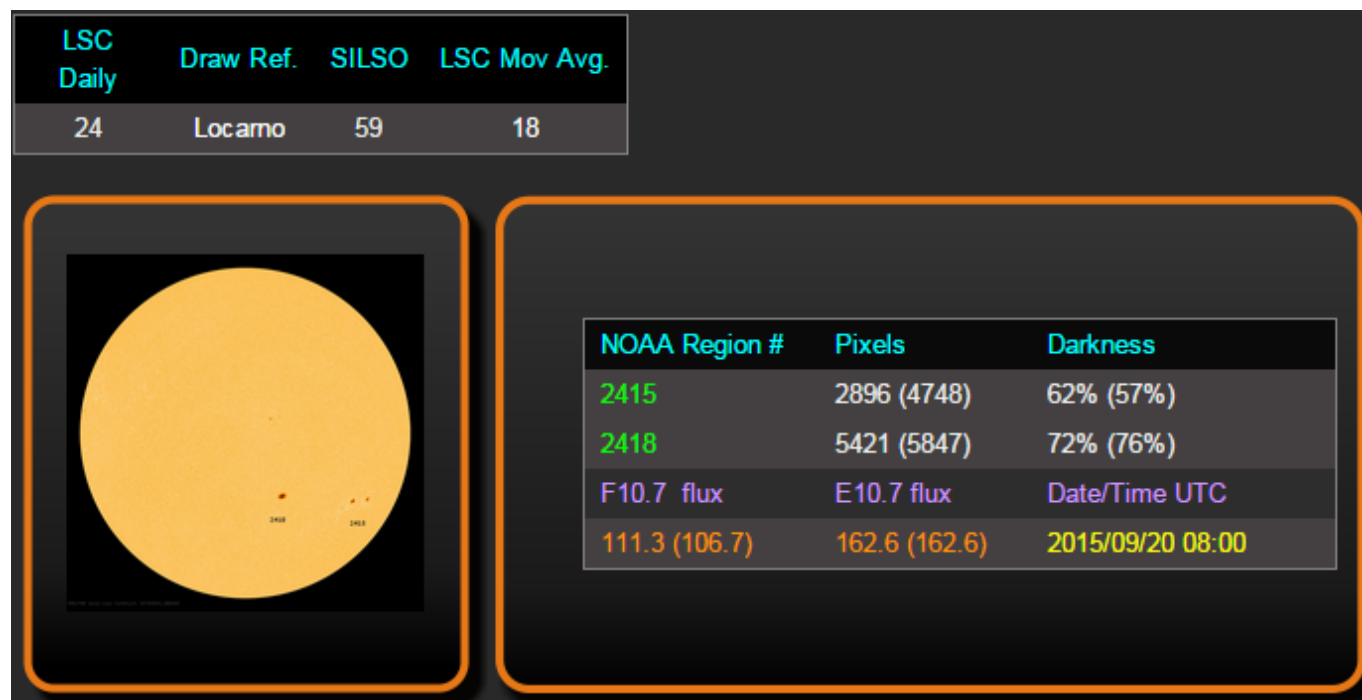
L'indice A attuale è di 13

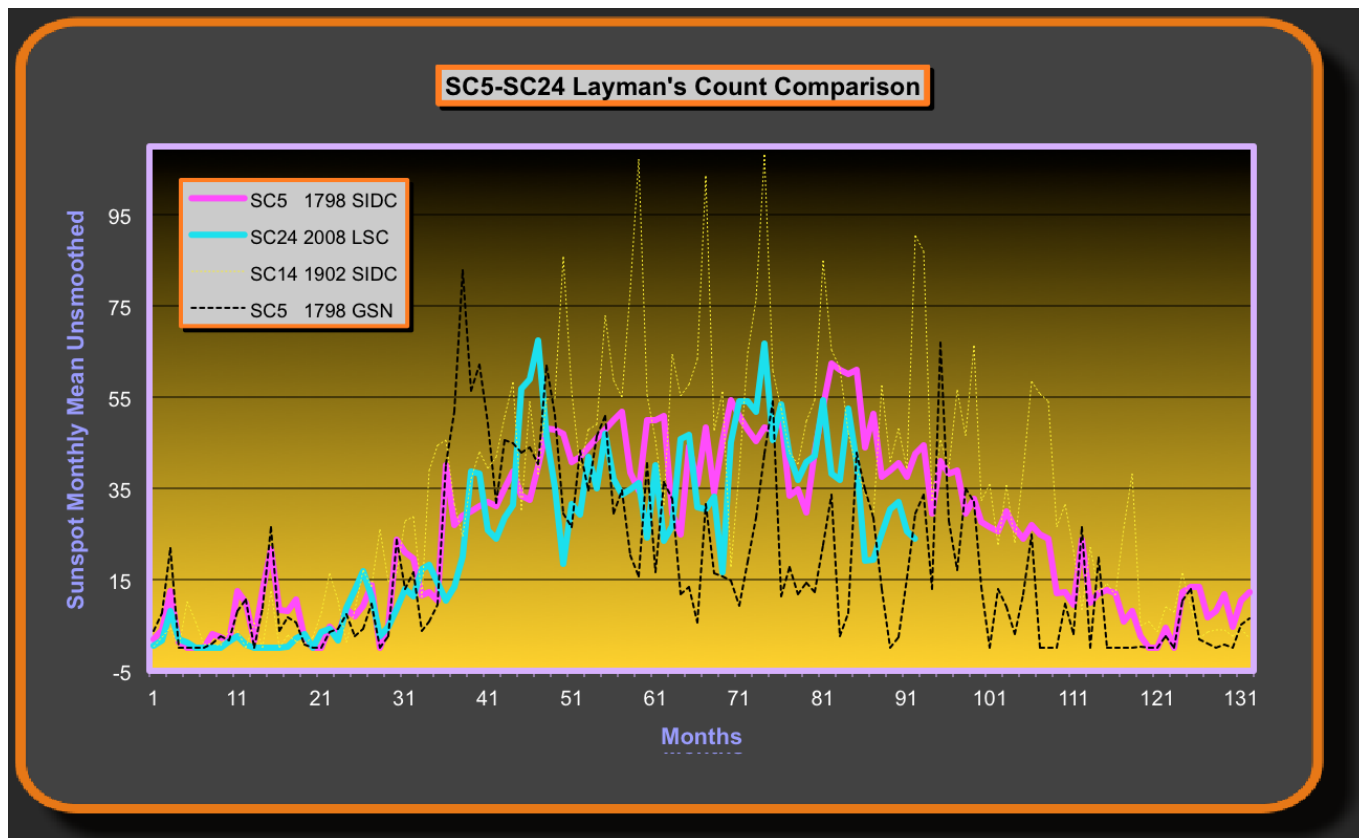
L'indice K attuale è di 1

Il flusso dei raggi X attuale risulta di classe B 3.0

La componente BZ attuale è di 2.6 nT

Il conteggio delle macchie solari con il metodo Layman's sunspot count (gestito da Geoff Sharp), nella giornata del 20 Settembre alle ore 08:00 (ultimo aggiornamento disponibile) è risultato con un conteggio di 24 macchie giornaliere che porta la media mensile a 18 macchie (SSN).





Confronto tra i due cicli, il ciclo 5 (minimo di Dalton colore fucsia) e il ciclo 24 (ciclo attuale colore azzurro) per il metodo di conteggio del Layman's

Aggiornamento del Campo Magnetico Polare del 21 Settembre 2015

Come nostra consuetudine diamo uno sguardo all'ultimo aggiornamento del campo magnetico solare, sui dati raccolti dal prestigioso Osservatorio di Wilcox Solar Observatory (WSO) dell'Università di Stanford.

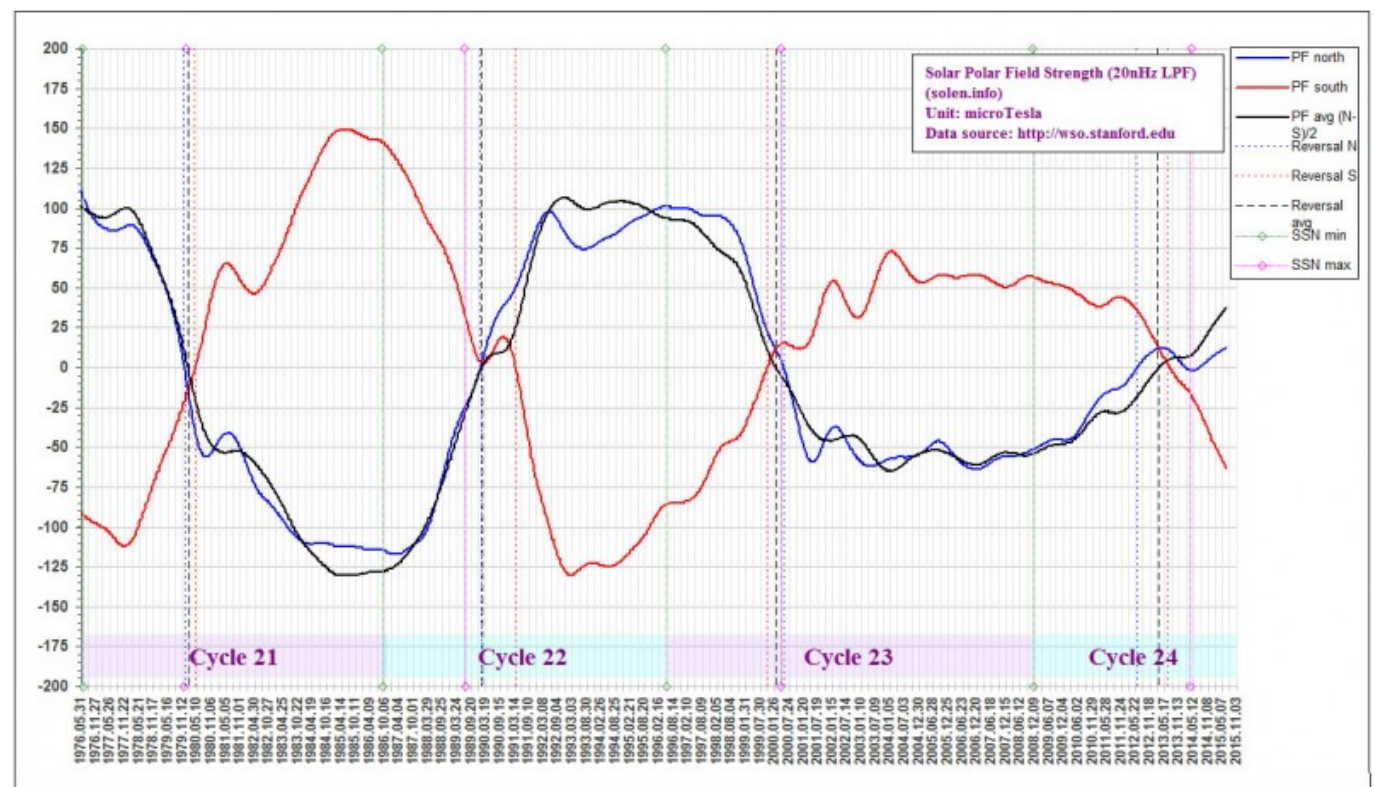
Il dati aggiornati il 21 Settembre 2015 e che fanno riferimento al 4 Settembre 2015, mettono ancora una volta in evidenza di come l'emisfero nord abbia ormai intrapreso un'andatura molto rallentata. Anche questo aggiornamento dell'emisfero nord risulta bloccato a 14Nf. Anche l'emisfero sud rimane piantato e resta a -70Sf.

Ne consegue che anche il dato mediato rimane fermo a 42Avgf.

2014:12:08_21h:07m:13s	0N	-44S	22Avg	20nhz	filt:	6Nf	-43Sf	25Avgf
2014:12:18_21h:07m:13s	-6N	-40S	17Avg	20nhz	filt:	6Nf	-45Sf	26Avgf
2014:12:28_21h:07m:13s	-4N	-43S	19Avg	20nhz	filt:	7Nf	-46Sf	26Avgf
2015:01:07_21h:07m:13s	3N	-42S	22Avg	20nhz	filt:	7Nf	-47Sf	27Avgf
2015:01:17_21h:07m:13s	9N	-45S	27Avg	20nhz	filt:	8Nf	-49Sf	28Avgf
2015:01:27_21h:07m:13s	18N	-41S	29Avg	20nhz	filt:	8Nf	-50Sf	29Avgf
2015:02:06_21h:07m:13s	10N	-45S	27Avg	20nhz	filt:	9Nf	-51Sf	30Avgf
2015:02:16_21h:07m:13s	8N	-48S	28Avg	20nhz	filt:	9Nf	-52Sf	31Avgf
2015:02:26_21h:07m:13s	8N	-51S	29Avg	20nhz	filt:	9Nf	-53Sf	31Avgf
2015:03:08_21h:07m:13s	17N	-50S	33Avg	20nhz	filt:	10Nf	-55Sf	32Avgf
2015:03:18_21h:07m:13s	27N	-49S	38Avg	20nhz	filt:	10Nf	-56Sf	33Avgf
2015:03:28_21h:07m:13s	24N	-52S	38Avg	20nhz	filt:	10Nf	-57Sf	34Avgf
2015:04:07_21h:07m:13s	15N	-56S	36Avg	20nhz	filt:	11Nf	-58Sf	34Avgf
2015:04:17_21h:07m:13s	11N	-59S	35Avg	20nhz	filt:	11Nf	-59Sf	35Avgf
2015:04:27_21h:07m:13s	13N	-61S	37Avg	20nhz	filt:	11Nf	-60Sf	35Avgf
2015:05:07_21h:07m:13s	16N	-64S	40Avg	20nhz	filt:	12Nf	-61Sf	36Avgf
2015:05:17_21h:07m:13s	15N	-66S	41Avg	20nhz	filt:	12Nf	-61Sf	37Avgf
2015:05:27_21h:07m:13s	12N	-80S	46Avg	20nhz	filt:	12Nf	-62Sf	37Avgf
2015:06:06_21h:07m:13s	6N	-76S	41Avg	20nhz	filt:	12Nf	-63Sf	38Avgf
2015:06:16_21h:07m:13s	5N	-75S	40Avg	20nhz	filt:	13Nf	-64Sf	38Avgf
2015:06:26_21h:07m:13s	5N	-74S	40Avg	20nhz	filt:	13Nf	-65Sf	39Avgf
2015:07:06_21h:07m:13s	10N	-74S	42Avg	20nhz	filt:	13Nf	-66Sf	39Avgf
2015:07:16_21h:07m:13s	13N	-74S	43Avg	20nhz	filt:	13Nf	-66Sf	40Avgf
2015:07:26_21h:07m:13s	13N	-69S	41Avg	20nhz	filt:	13Nf	-67Sf	40Avgf
2015:08:05_21h:07m:13s	12N	-66S	39Avg	20nhz	filt:	14Nf	-68Sf	41Avgf
2015:08:15_21h:07m:13s	14N	-63S	38Avg	20nhz	filt:	14Nf	-69Sf	41Avgf
2015:08:25_21h:07m:13s	17N	-64S	40Avg	20nhz	filt:	14Nf	-69Sf	42Avgf
2015:09:04_21h:07m:13s	19N	-67S	43Avg	20nhz	filt:	14Nf	-70Sf	42Avgf

I dati grezzi e filtrati del campo polare del sole

<http://wso.stanford.edu/Polar.html#latest>



L'andamento degli ultimi 4 cicli solari del Campo Polare solare

<http://www.solen.info/solar/polarfields/polar.html>

Enzo

Attività Solare